

## I-17 浮遊砂による貯水池の堆砂過程について

徳島大学 工学部 正員 岡部 健士  
大学院 学生員 ○坂東 高  
ク ハ イ 土井 建朗

1. まえがき：浮遊砂による貯水池の堆砂過程については、矢野・芦田<sup>(1)</sup>、椿・平野<sup>(2)</sup>、杉尾・岡部<sup>(3)</sup>らの研究があるが、いまだ十分な成果が得られていない。本報告は、従来のものより大きい路床勾配をもつ2次元貯水池モデルを用いた実験により、池内の流速分布、浮遊砂濃度分布および堆砂過程における諸特性を見出そうとするものである。使用されたモデルは、幅60cmの矩形水路で、

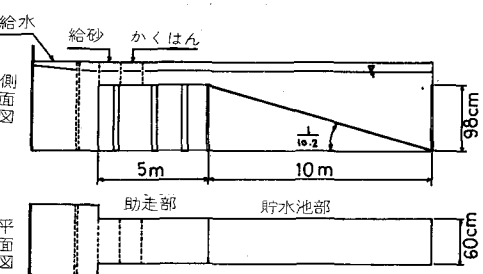


図-1 実験装置

2. 流速と拡散特性について：貯水池内の流速特性には不明確な点が多い。とりわけ、Fore-Set bedsからBottom-Set bedsにかけての分布形の変遷は極めて複雑である。

この付近の流速特性は浮遊物質の拡散・堆積に支配的な影響を及ぼすので、これを十分に研究する必要がある。そこで、実験においては、この領域の流速を特に注意深く測定した。図-2は、流量が15.25 l/secのときの流速分布図で、流入断面から下流4mの間のものが描かれて

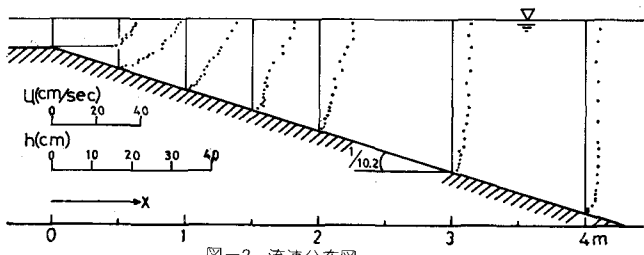


図-2 流速分布図

いる。これ以下の断面においては、分布形は対数型または指数型に近いものとなる。さて、流入断面から2~3m下流までの断面における流速分布は、いずれも明瞭な折曲点をもっていることが注目される。これは、池内に流入してくる流れの性質をなすり保持した流れと、池内河床の影響を直接受けた流れとが互いに混合し合いながらある距離流下し、その後に、全断面にわたって通常の粗面漸拡流に近い流れが形成されるという経過を表わしている。

さて、従来、浮遊砂の堆砂現象を解析する場合には、基礎式として乱流拡散方程式が利用されているが、この手法には解析上および応用上の難点が数多く含まれている。そこで、著者らは、流速と濃度の平均量で表わされた次のような拡散式を利用する方が有利ではないかと考えた。

$$\frac{\partial C}{\partial t} + U \frac{\partial C}{\partial x} = \frac{1}{A} \frac{\partial}{\partial x} \left\{ A (D_L + D_T) \frac{\partial C}{\partial x} \right\} - S(x, t) \quad (1)$$

ここに、 $C$ =断面平均濃度、 $U$ =断面平均流速、 $A$ =断面積、 $D_T$ =断面平均の乱流拡散係数、 $D_L$ =移流拡散係数、 $S(x, t)$ = $x$ 断面における、単位時間当たりの堆積量。本報告では、流速資料を用いて計算された $D_T$ 、 $D_L$ の流れ方向における変化を示すとともに、それらに関して若干の考察を加えることにする。

Taylor, Eider<sup>(4)</sup>の理論に従えば、 $D_T$ と $D_L$ を次のように書くことができる。

$$D_T = \frac{1}{h} \int_0^h \frac{1 - y/h}{dU(y)/dy} dy \quad (2)$$

$$D_L = - \frac{1}{h} \int_0^h \hat{U}(\tilde{y}) d\tilde{y} \int_0^{\tilde{y}} \frac{d\tilde{y}}{D_{Tg}(\tilde{y}_1)} \int_{\tilde{y}_1}^{\tilde{y}} \hat{U}(\tilde{y}_2) d\tilde{y}_2 \quad (3)$$

ここに,  $h$  = 水深,  $U(y)$  = 河床から  $y$  上方の流速,  $\bar{U}(y)$  = 水面から  $y$  下方の流速の断面平均流速からの偏倚,  $D_{T\bar{U}}(y)$  =  $y$  なる位置の乱流拡散係数。(2)式および(3)式を離散化したものに実験資料を用いて  $D_T$  と  $D_L$  を計算した結果を図-3 に示す。図には、流速分布を対数型速度欠損則で近似して得られた Elder の式 ( $D_T = 0.068 h U_*$ ,  $D_L = 5.86 h U_*$ ;  $U_*$  = 壓縮速度) による計算値をもプロットしている。 $D_L$  の値は池内に入ると著しく増大し、1.5m 附近で最大になり、その後、しだいに減少していく。また、 $D_L$  の値を Elder の理論値と比較すると、流入断面より 3m の間の領域における値は、Elder の値よりかなり大きな値となる。これは、この領域では、Elder の式が使えないことを裏付けている。一方、各断面における  $D_T$  の値は、 $D_L$  に対して無視しうるほど小さく、このことは(1)式における  $D_T$  を省略しうることを示している。

### 3. 浓度分布および堆砂に関する実験と

実験結果について：本実験は前述の貯水池モデルに給砂器、攪拌機を取り付けて行なわれた。このときの流量は 15.3 l/sec, 全給砂量は 14.1 cm<sup>3</sup>/sec であり、供給砂としては比重 2.37, 平均粒径 0.032 mm の細砂を用いた。濃度分布の測定はサイフォン式採水により行なった。また、堆砂形状は一定時間通水後静かに水を止め測定し、その後再び通水して実験を継続した。図-4 は、2 時間後の濃度分布と堆砂形状である。流入断面における濃度の鉛直分布

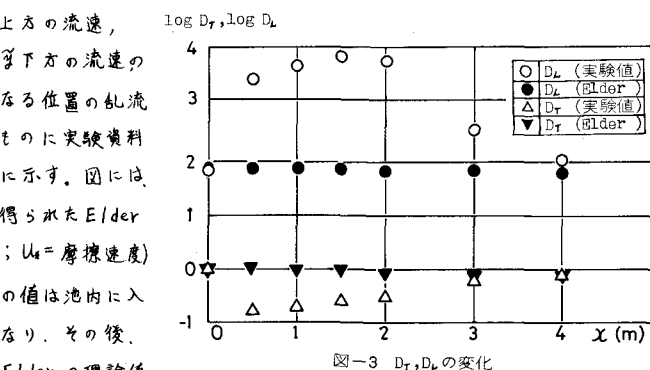


図-3  $D_T, D_L$  の変化

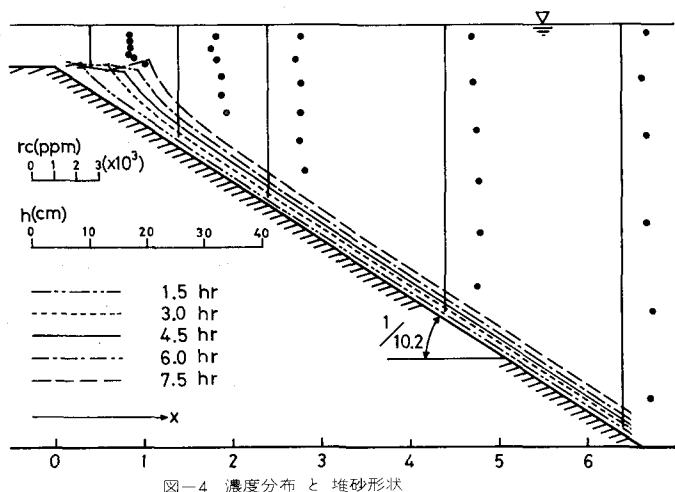


図-4 濃度分布と堆砂形状

は、等流のものと似てあり、平均粒径を用いて推定したラウス分布ではほぼ近似しうることがわかった。また、その他の断面では、路床上ある距離の間、鉛直方向の濃度勾配が極めて小さい。そして、この距離は流下距離に比例して大きくなるようである。つぎに、段丘の肩はほぼ水平方向に移動し、その前進速度は時間とともに多少減少する傾向が認められる。また、堆砂面はほぼ元路床に平行に進行するが、堆砂面勾配は下流に移るごとに多少元路床勾配より急になる傾向がある。

4. あとがき：本報告では、浮遊砂による貯水池の堆砂過程に関する基礎的実験を紹介した。今後、流速特性、濃度分布特性をより詳細に研究することともに、堆砂過程の予測手法を開発していくたいと考える。

最後に、本報告は一部昭和 50 年度文部省科学研究費（代表 杉尾拾三郎 德大教授）の補助を受けたことを記し、関係各位に深謝する。

### 参考文献

- (1) 矢野・芦田・大同・前田：浮遊砂による貯水池の堆砂に関する研究；京大防災研究所年報第 7 号, 昭 39.3, pp.348~344.
- (2) 横・平野：浮遊砂の流入による貯水池の堆砂過程； 第 24 回年次学術講演会概要集, 昭 44.10, pp. 267~270.
- (3) 杉尾・岡部：浮遊土砂による貯水池の堆砂について；第 29 回年次学術講演会概要集, 昭 49.10, pp. 247~249.
- (4) 橋東一郎：水理学 II；森北出版, 1974, pp. 190~194.